

快报

# G(1590)作为 $0^{++}$ 胶子球候选者的一个直接的检验\*

郁 宏

(中国科学院高能物理研究所,北京)

## 摘要

本文用推广的矩分析法<sup>[1]</sup>研究了在 $\sim 1.7$  GeV 处  $J/\psi$  辐射衰变产生的宽共振峰的结构, 提供了一个检测是否此峰中可能同时存在  $\theta/f_2(1720)$  和 G(1590) 态的方法。如果 G(1590) 确实存在, 则是对 G(1590) 作为胶子球候选者的一个直接的检验。

G(1590) 作为一个 $0^{++}$ 胶子球的候选者已引起了普遍的关注, 但迄今只在  $\pi^-$  束轰击质子靶的强子碰撞实验中找到了它的踪迹<sup>[2]</sup>。而对它的衰变方式的研究<sup>[3]</sup>使得人们相信它可能是一个 $0^{++}$ 胶子球。但是, G(1590) 作为胶子球的一个直接的检验, 它应该在  $J/\psi$  辐射衰变——胶子球产生的最佳通道中露面。不幸的是, 不管是 MARK III 组还是 DM2 组均未在  $J/\psi$  辐射衰变中探测到它。

$\theta/f_2(1720)$  作为 $2^{++}$ 胶子球的候选者基本上已经获得认可, 但仍是不无疑问的。1988 年 8 月 29 日—9 月 1 日在 BNL 召开的一个会议上, 对  $\theta/f_2$  的自旋就有过一番讨论, 并认为, 虽然自旋 2 仍为人们所倾向接受, 但同时指出: 一个足够大的自旋为零的分量不能排除<sup>[4]</sup>。文献[5]经分析指出原有的实验数据也不足以对  $\theta/f_2$  的自旋为 2 还是 0 给出确定的结论。

我们注意到  $\theta/f_2(1720)$  的宽度达  $\Gamma = (138 \pm 11)$  MeV, 而 G(1590) 的宽度竟达  $\Gamma = (280 \pm 40)$  MeV。因此我们认为, 虽然  $\theta/f_2(1720)$  可勉强和  $f_2'(1525)$  分开<sup>[6]</sup> ( $f_2'(1525)$  的宽度为  $\Gamma = (76 \pm 10)$  MeV), 但和 G(1590) 可能分不开, 即  $J/\psi$  辐射衰变产生在 $\sim 1.7$  GeV 处的宽共振峰中可能包含着二个态  $\theta/f_2(1720)$  和 G(1590)。如果是这样, 那么对于这个共振峰的处理若仅把它作为单个  $\theta/f_2$  共振峰而用最大似然法去拟合<sup>[7]</sup>显然是不妥的。我们必须取  $J/\psi$  辐射衰变产生 $0^{++}$ 和 $2^{++}$ 态的角分布公式的迭加去拟合实验数据, 但是二者的权重各是多少? 是个未知数。

在文献[1]中, 我们用推广的矩分析法讨论了诸如  $\nu-E$  疑难等问题。这里, 我们试图用这个方法于  $\theta/f_2-G$  的分析。

\* 本工作得到国家科学基金的资助。本文 1989 年 10 月 23 日收到。

由文献[1]我们知道, 过程  $e^+ + e^- \rightarrow J/\psi \rightarrow \gamma + X, X \rightarrow P + \bar{P}$  的角分布为

$$W_{J_X}(\theta_\tau, \theta, \phi) \sim \sum_{\lambda_\tau, \Lambda, \Lambda'} I_{\lambda_\tau, \lambda'_\tau}(\theta_\tau) A_{\lambda_\tau \Lambda}^{J_X} A_{\lambda_\tau \Lambda'}^{J_X} D_{-\Lambda, 0}^{J_X}(\phi, \theta, 0) \cdot D_{-\Lambda', 0}^{J_X}(\phi, \theta, 0), \quad (1)$$

其中,  $A_{\lambda_\tau \Lambda}^{J_X} \sim \langle \gamma_{\lambda_\tau} X_\Lambda | T | \phi_{\lambda'_\tau} \rangle$  是螺旋度振幅,  $\lambda_\tau, \Lambda$  和  $\lambda'_\tau$  分别是光子、X和  $J/\psi$  粒子的螺旋度;

$$I_{\lambda_\tau, \lambda'_\tau}(\theta_\tau) \sim \frac{1}{4} \sum_{r, r'} \langle \phi_{\lambda'_\tau} | T | e_r^+ e_r^- \rangle \langle \phi_{\lambda'_\tau} | T | e_r^+ e_r^- \rangle^*, \quad (2)$$

$(\theta, \phi)$  描述X静止系中P粒子动量的方向, 光子出射方向取为坐标系的z轴,  $e^+e^-$  束流在  $x-z$  平面内。

过程的矩的光子角分布被定义为

$$H_{J_X}(\theta_\tau, LM) = \int W_{J_X}(\theta_\tau, \theta, \phi) D_{M0}^L(\phi, \theta, 0) \sin \theta d\theta d\phi, \quad (3)$$

这是一个实验上可测量的量。把(1)式代入(3)式, 我们有

$$\begin{aligned} H_{J_X}(\theta_\tau, LM) &= \frac{4\pi}{2J+1} \sum_{\lambda_\tau \Lambda \Lambda'} I_{\lambda_\tau \lambda'_\tau}(\theta_\tau) \cdot A_{\lambda_\tau \Lambda} A_{\lambda_\tau \Lambda'} (J_X - \Lambda' LM | J_X - \Lambda) \\ &\quad \cdot (J_X 0 L 0 | J_X 0). \end{aligned} \quad (4)$$

定义螺旋度振幅比

$$x = \frac{A_{11}}{A_{10}}, \quad y = \frac{A_{12}}{A_{10}}. \quad (5)$$

我们可得到:

$$\begin{aligned} H_0(\theta_\tau, 00) &\approx 2p^2(1 + \cos^2 \theta_\tau), \\ H_2(\theta_\tau, 00) &\approx 2p^2(1 + 2y^2 + 2x^2) \left(1 + \frac{1 + 2y^2 - 2x^2}{1 + 2y^2 + 2x^2} \cos^2 \theta_\tau\right), \end{aligned} \quad (6)$$

$$H_0(\theta_\tau, 2M) = 0,$$

$$\begin{aligned} H_2(\theta_\tau, 20) &\approx \frac{16}{35} \pi p^2 (1 - y^2 + x^2) \left(1 + \frac{1 - y^2 - x^2}{1 - y^2 + x^2} \cos^2 \theta_\tau\right), \\ H_2(\theta_\tau, 21) &= -H_2(\theta_\tau, 2 - 1) \approx -\frac{4\sqrt{2}}{35} \pi p^2 x (1 - \sqrt{6} y) \sin 2\theta_\tau, \\ H_2(\theta_\tau, 22) &= H_2(\theta_\tau, 2 - 2) \approx -\frac{16}{35} \pi p^2 y (1 - \cos^2 \theta_\tau). \end{aligned} \quad (7)$$

对于我们讨论的  $\theta/f_2-G$  问题, 总的角分布公式为

$$W_{J_X}(\theta_\tau, \theta, \phi) = aW_0(\theta_\tau, \theta, \phi) + bW_2(\theta_\tau, \theta, \phi). \quad (8)$$

用公式(3), 对于矩的光子角分布, 我们有

$$H_{J_X}(\theta_\tau, LM) = aH_0(\theta_\tau, LM) + bH_2(\theta_\tau, LM). \quad (9)$$

而由(7)式, 我们得到

$$H_{J_X}(\theta_\tau, 2M) = bH_2(\theta_\tau, 2M), \quad M = 0, \pm 1, \pm 2, \quad (10)$$

由(6)式, 我们有

$$H_{J_x}(\theta_r, 00) = aH_0(\theta_r, 00) + bH_2(\theta_r, 00) \approx 2p^2a \left\{ \left[ 1 + (1 + 2y^2 + 2x^2) \frac{b}{a} \right] \right. \\ \left. + \left[ 1 + (1 + 2y^2 - 2x^2) \frac{b}{a} \right] \cos^2 \theta_r \right\}. \quad (11)$$

可见,  $J_x = 0$  的成份(即 G(1590)) 对  $H_{J_x}(\theta_r, 2M)$  没有贡献。于是, 由(10)式用实验数据去拟合  $H_{J_x}(\theta_r, 2M)$ , 可以定出过程  $J/\psi \rightarrow \gamma + \theta$  的螺旋度振幅比  $x$  和  $y$ (若峰含有 G(1590), 则它显然不同于文献[7]由  $W_2(\theta_r, \theta, \phi)$  用最大似然法定出的  $x$  和  $y$ )。然后, 用上面定出的  $x$  和  $y$  值代入(11)式, 并用实验数据去拟合  $H_{J_x}(\theta_r, 00)$ , 则可定出  $b/a$  这个参数。如果  $b/a \gg 1$ , 则表明宽共振峰中含有极少的 G(1590) 成份, 我们定出的  $x$  和  $y$  值就应该和文献[7]给出的  $x$  和  $y$  值基本相等。否则, 就要修改以往的结果; 同时也就对进一步确认 G(1590) 作为  $0^{++}$  胶子球提供了更直接的一个证据。

如果在辨认 X 共振态时, 区分不同的衰变道, 如  $\eta\eta$ 、 $K\bar{K}$ 、 $\pi\pi$  等, 那么对于这些不同的衰变道,  $x$  和  $y$  值不会改变, 但比例参数  $b/a$  会发生变化。

首先从总体上检验  $J/\psi$  辐射衰变产生的在  $\sim 1.7\text{GeV}$  处宽共振峰中是否存在 G(1590), 这是我们所期待的, 所以可先不考虑区分不同的衰变道。然而, 区分各衰变道, 作更进一步的细致分析将涉及对  $\theta/f_2(1720)$  和 G(1590) 的衰变机制的认识, 对于了解  $\theta/f_2(1720)$  和 G(1590) 的性质也是极重要的。

### 参 考 文 献

- [1] Yu Hong, *Commun. Theor. Phys.*, 12(1989), 229.
- [2] F. Binon et al., *Nuovo Cim.*, 78A(1983), 313.  
D. Alde et al., *Nucl. Phys.*, B269(1986), 485.
- [3] S. S. Gershtein et al., *Z. Phys.*, C24(1984), 305.
- [4] S. U. Chung, CERN COURIER 28(1988) No. 10, 25.
- [5] T. Z. Ruan, T. J. Wang, W. G. Yan, H. Yu and M. Zheng, Proceedings of the BIMP Symposium on heavy flavor physics, 11—20.  
August (1989) 410, by World Scientific Publishing Co. Pte. Ltd.
- [6] L. Köpke, XXIII Int. Conf. on High Energy Physics, Berkeley, Calif. July 1986, ed. by S. Loken  
(World Scientific, Singapore, 1987), and SCIPP 86/74(1986),  
B. Jean-Marie, Orsay preprint LAL 86/21(1986).
- [7] R. M. Baltrusaitis et al., *Phys. Rev.*, D35(1987), 2077.

## A DIRECT CHECK FOR G(1590) AS THE $O^{++}$ GLUEBALL CANDIDATE

YU HONG

(Institute of High Energy Physics, Academia Sinica, Beijing)

### ABSTRACT

In this paper by using the generalized moment analysis<sup>[1]</sup> we have studied the structure of the wide resonance peak at about 1.7Gev produced in  $J/\psi$  radiative decay. It provides a method to test whether there exist the  $\theta/f_2(1720)$  and the G(1590) states simultaneously in the peak. If the G(1590) exists indeed it is a direct check for G(1590) as the  $O^{++}$  glueball candidate.

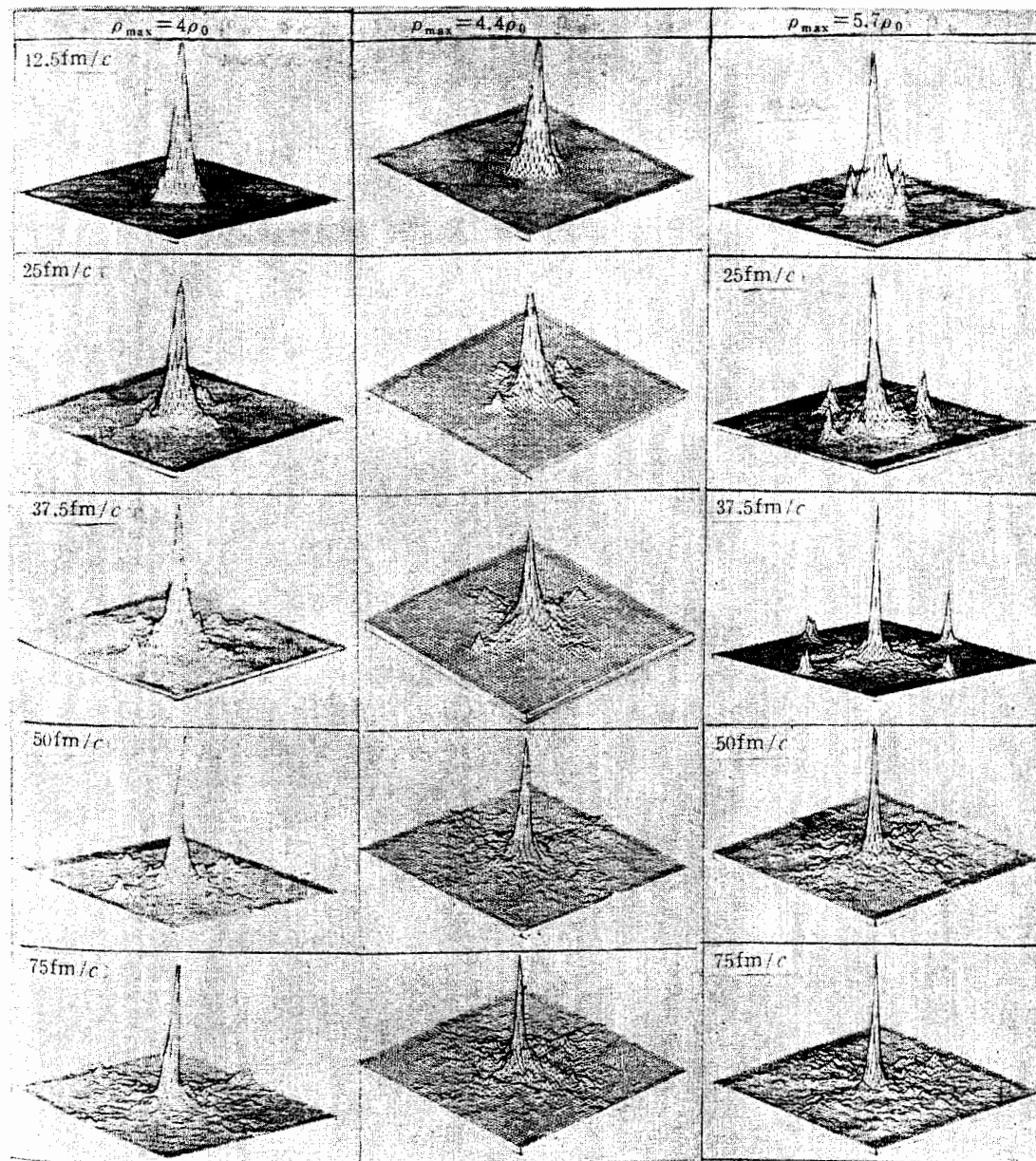


图 1 固定  $T = 15 \text{ MeV}$ , 在三个不同压缩密度时计算的  $x-z$  反应平面内(对  $y$  积分  
 $60 \times 60 \text{ fm}^2$ ) 系统的密度分布随时间发展

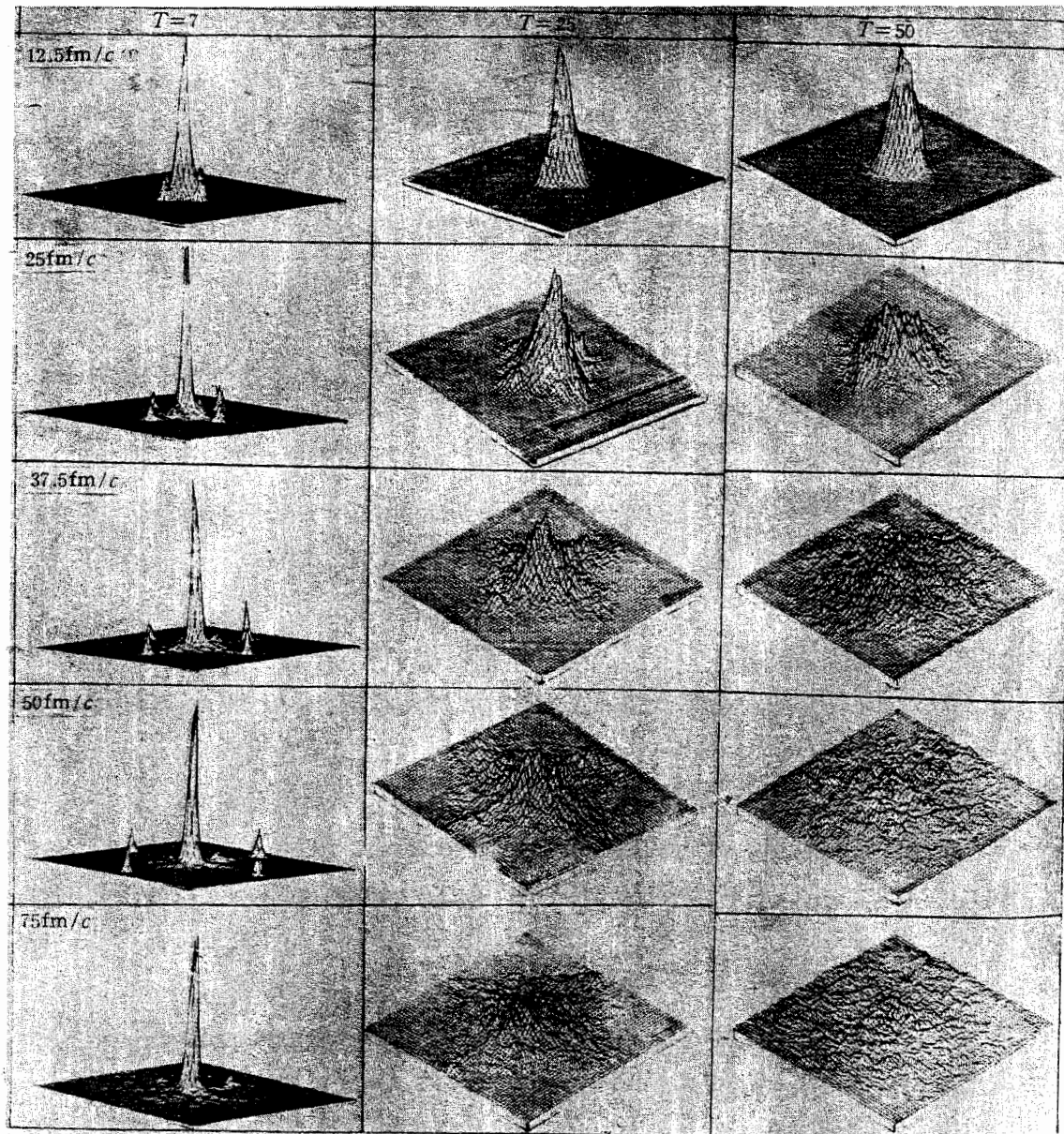


图 2 固定压缩密度  $\rho = 4.4\rho_0$ , 在三个不同的温度系数时, 计算的  $x$ - $z$  反应平面内(对  $y$  积分  $60 \times 60 \text{ fm}^2$ ) 系统的密度分布随时间发展